

## سنتر و مشخصه یابی نانوکامپوزیت بتونیت- دی اکسید قلع در محیط آب فوق بحرانی\*

مقاله پژوهشی

مرتضی گل محمدی<sup>(۱)</sup> هادی نصیری<sup>(۲)</sup>

**چکیده** در این تحقیق امکان نشان دادن نانوذرات دی اکسید قلع بر روی پایه معدنی بتونیت در محیط آب فوق بحرانی مورد بررسی قرار گرفته است. فرایند تولید نانوکامپوزیت بتونیت- دی اکسید قلع در یک راکتور از جنس فولاد زنگ نزن ۳۱۶L به حجم ۲۰ میلی لیتر انجام شد. دمای سنتر  $480^{\circ}\text{C}$  و مدت زمان آن دو ساعت بود. نانوکامپوزیت تولیدی سپس به منظور تأیید نشانده شدن نانوذرات دی اکسید قلع بر روی پایه توسط آنالیزهای مختلف نظیر پراش پرتو ایکس (XRD)، میکروسکوپ الکترونی روبشی (SEM) و میکروسکوپ الکترونی عبوری (TEM) مورد ارزیابی قرار گرفت. هم چنین سطح ویژه، اندازه و حجم حفرات نانوکامپوزیت نیز با استفاده از آنالیز BET تعیین شد. ظهور پیک های مربوط به دی اکسید قلع در طیف XRD نانوکامپوزیت، مؤید سنتر موفق نانوذرات بر روی بتونیت است. نشسته شدن نانوذرات دی اکسید قلع با اندازه کمتر از ۱۵ نانومتر بر روی صفحات بتونیت با توجه به تصاویر SEM و TEM تأیید شد. نانوکامپوزیت تولیدی به دلیل داشتن بتونیت در ساختار خود دارای سطح ویژه  $50/31\text{ m}^2/\text{g}$  و حجم حفرات  $\text{cm}^3/\text{g}$  ۰/۱۳ بود که آن را مستعد استفاده به عنوان کاتالیست در واکنش های مختلف می کند.

**واژه های کلیدی** آب فوق بحرانی، نانوکامپوزیت، بتونیت، دی اکسید قلع، مشخصه یابی.

### مقدمه

اکسیدهای فلزی به دلیل کاربردهای فراوان آنها از جمله استفاده در طیف وسیعی از واکنش های کاتالیتی، جاذب برای جذب انواع آلاینده ها، تصفیه آب و فاضلاب، تولید و ذخیره انرژی و ... بسیار مورد توجه هستند [1]. کاهش اندازه ذرات تا مقیاس نانو می تواند با افزایش سطح ویژه آن موجب بهبود عملکرد ذرات در کاربردهای مختلف شود. در طول دهه های گذشته روش های مختلفی برای تولید نانوذرات ارائه شده است که مهم ترین آنها عبارت اند از روش های شیمیایی نظیر سل- ژل [2]، هم رسوبی [3] و احتراقی [4] روش های فیزیکی نظیر آسیاب توپی [5] و روش های سبز مانند سنتر در حضور عصاره استخراج شده از گیاهان [6]، روش هیدروترمال و هیدروترمال در آب فوق بحرانی [7]. در این بین روش آب فوق بحرانی به دلیل سادگی، سرعت سنتر بالا و استفاده حداقلی از مواد شیمیایی در دهه های اخیر

مورد توجه محققان قرار گرفته است.

اگر دما و فشار آب به بالاتر از حالت بحرانی خود برسد ( $T_c = 374^{\circ}\text{C}$  و  $P_c = 221\text{ barg}$ ) آب فوق بحرانی ایجاد می شود. آب فوق بحرانی خواص متفاوتی نسبت به آب مایع یا بخار آب دارد و این خواص را می توان با تغییر فشار و دما تغییر داد؛ به عنوان مثال، چگالی و ویسکوزیته در شرایط نزدیک به نقطه بحرانی به شدت تغییر می کند [8]. آب فوق بحرانی به دلیل ویژگی های منحصر به فرد خود، یک سری مزایای فنی از جمله استفاده از آن به عنوان محیط مناسب برای تولید ذرات و هم چنین طیف وسیعی از واکنش های شیمیایی از جمله واکنش های تخریب مواد شیمیایی سمی، ارتقای نفت سنگین، تولید هیدروژن از طریق گازی سازی زیست توده و غیره ارائه می دهد. یکی از کاربردهای جاذب آب فوق بحرانی، استفاده از آن به عنوان بستری برای تولید نانوذرات مختلف است. سرعت بالای واکنش ها و دوست دار

\* تاریخ دریافت مقاله ۱۴۰۰/۷/۱۷ و تاریخ پذیرش آن ۱۴۰۰/۸/۱۷ می باشد.

(۱) نویسنده مسئول، استادیار گروه مهندسی شیمی، دانشکده مهندسی معدن، عمران و شیمی، دانشگاه صنعتی بیرجند.

Email: golmohammadi@birjandut.ac.ir

(۲) استادیار گروه مهندسی مواد، دانشکده مهندسی مکانیک و مواد، دانشگاه صنعتی بیرجند.

معدنی نظیر بتونیت و کائولن اشاره کرد [14]. در بین این پایه کاتالیست‌ها، بتونیت به دلیل فراوانی، ارزانی و خواص مورفولوژی قابل قبول نظیر سطح ویژه بالا و قابلیت جذب بسیار بالای محلول‌های آبی در سال‌های اخیر مورد توجه محققان قرار گرفته است. نانوذرات گوناگون نظیر دی اکسید قلع [15]، اکسید روی [16]، اکسید نقره [17] و غیره به روش‌های مختلف بر روی بتونیت نشانداده شده و عملکرد آن‌ها در واکنش‌های مختلف مورد بررسی قرار گرفته است. براساس یافته‌های این محققان استفاده از نانوکامپوزیت شامل نانوذرات اکسید فلزی و بتونیت در مقایسه با نانوذرات به تنهایی موجب بهبود عملکرد کاتالیستی می‌شود و بازیابی کاتالیست‌ها را تسهیل می‌کند. آن‌ها این بهبود عملکرد را به خواص بتونیت نظیر قابلیت جذب سطحی بتونیت و همچنین تخلخل و سطح ویژه بالای آن نسبت می‌دهند. این ویژگی‌ها باعث می‌شود که اولاً در حین فرایند سنتز، نانوذرات به خوبی در خلل و فرج بنشینند و در نتیجه مکان‌های فعال فراوان با درجه پخش مناسب ایجاد شود و ثانیاً به دلیل خواص جذب سطحی بتونیت، مولکول‌های واکنش‌دهنده در حین انجام واکنش‌های مورد نظر، به خوبی بر روی مکان‌های فعال جذب شوند و احتمال واکنش و در نتیجه کارایی کاتالیست افزایش یابد.

در تحقیق حاضر، نانوذرات دی اکسید قلع در محیط آب فوق بحرانی بر روی بتونیت نشانداده شدند تا نانوکامپوزیت بتونیت- دی اکسید قلع تولید شود. سپس نانوکامپوزیت ساخته شده، توسط آنالیزهای مشخصه‌یابی شد تا خواص مختلف آن مورد ارزیابی قرار گیرد.

### مواد و روش تحقیق

#### مواد اولیه

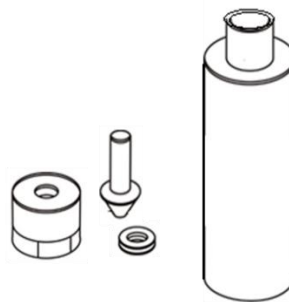
نمک کلراید قلع ( $\text{SnCl}_4 \cdot 5\text{H}_2\text{O}$ ) با خلوص بالای ۹۸ درصد از شرکت مرک تهیه شد. بتونیت اصلاح شده با خلوص بالا از یکی از معادن شهرستان بیرجند خریداری شد. آب دو بار تقطیر شده در تمامی آزمایش‌ها مورد استفاده قرار گرفت.

محیط‌زیست بودن این روش به دلیل استفاده حداقلی از مواد شیمیایی مهم‌ترین مزایای استفاده از آب فوق بحرانی است [9]. در دمای معمولی به دلیل بالا بودن ثابت دی‌الکتریک آب، نمک‌های معدنی به راحتی در آن حل می‌شوند. با افزایش دما ثابت تفکیک آب بالا می‌رود و پیش ماده فلزی محلول در آب، آب کافت می‌شود که منجر به تولید هیدروکسید فلزی می‌شود. با افزایش بیشتر دما و تغییر حالت آب به آب فوق بحرانی به دلیل کاهش شدید ثابت دی‌الکتریک، این نمک‌ها دیگر محلول نمی‌شوند، درجه فوق اشباع محلول افزایش می‌یابد و در نتیجه نرخ هسته‌زایی نیز به شکل قابل توجهی بالا می‌رود. در نهایت نانوذرات اکسید فلزی طی یک واکنش آب‌زدایی به سرعت و به طور مداوم تشکیل می‌شوند. هم‌چنین انجام واکنش‌های شیمیایی در شرایط فوق بحرانی امکان تغییر محیط واکنش را از طریق تغییر در خواص حلال با تغییر فشار فراهم می‌کند [10]. افزایش فشار موجب افزایش حلالیت واکنش‌دهنده‌ها و محصولات و حذف محدودیت‌های انتقال بین فازی می‌شود. علاوه بر این، سیالات فوق بحرانی می‌توانند مخلوط‌های تک‌فاز و هم‌گن از واکنش‌دهنده‌ها را تشکیل دهند که هیچ مانعی برای محدود کردن سرعت انتقال جرم ایجاد نمی‌کند و از این طریق سرعت واکنش افزایش می‌یابد [11].

یکی از مشکلات استفاده از نانوذرات در واکنش‌های کاتالیستی ناهم‌گن مختلف پخش شدن آن‌ها در واکنش پس از واکنش و دشواری بازیابی آن‌ها است. برای غلبه بر این مشکل معمولاً نانوذرات را بر روی یک پایه می‌نشانند [12]. موادی برای پایه کاتالیست مناسب هستند که از سطح ویژه، پایداری شیمیایی و فیزیکی بالایی برخوردار باشند و هم‌چنین قابلیت پراکندگی نانوذرات در سطح زیادی را از خود نشان دهند. علاوه بر این، خواص شیمیایی و فیزیکی سطح پایه می‌تواند بر فعال شدن نانوذرات تأثیر بگذارد و از آن طریق خصوصیات کاتالیست‌های نشانداده شده را بهبود دهد [13]. در مطالعات آزمایشگاهی و صنعتی، پایه‌های کاتالیست مختلفی بررسی و استفاده شده‌اند که از مهم‌ترین آن‌ها می‌توان به سیلیکا، آلومینا، تیتانیا و برخی خاک‌های

### روش تولید نانوذرات

برای سنتز نانوکامپوزیت بتونیت-دی اکسید قلع به روش آب فوق بحرانی، از یک راکتور ناپیوسته با حجم ۲۰ میلی لیتر استفاده شد. جنس بدنه راکتور از آلیاژ فولاد زنگ نزن ۳۱۶ L بود که طرح شماتیک آن در شکل (۱) نشان داده شده است. این راکتور از قسمت های مختلف شامل محفظه، مخروط آب بندی، کله گی و واشر تشکیل شده است. برای انجام آزمایش ها پس از بار گذاری واکنش دهنده ها درون محفظه راکتور، مخروط آب بندی بر روی خروجی محفظه قرار داده می شود و روی آن واشر قرار می گیرد. سپس راکتور با محکم کردن کله گی بر روی مخروط، کاملاً آب بندی می شود. برای تولید نانوذرات، ابتدا محلول ۰/۱ مولار کلراید قلع تهیه شد. سپس ۶ میلی لیتر از این محلول به همراه با ۱ گرم پودر بتونیت درون یک بشر ریخته شد و به مدت ۱۵ دقیقه بر روی یک هم زن مغناطیسی تحت اختلاط قرار گرفته ند. سپس مخلوط برای انجام واکنش درون راکتور ریخته و درب محفظه راکتور به صورت کامل بسته شد. راکتور حاوی مخلوط فوق به مدت ۲ ساعت درون کوره ای با دمای ۴۸۰ درجه سانتی گراد قرار داده شد. پس از اتمام زمان ذکر شده، مواد داخل راکتور پس از ریخته شدن داخل یک بشر، برای ده دقیقه و با سرعت ۱۰ هزار دور بر دقیقه سانتریفیوژ شد تا نانوکامپوزیت تولید شده که درون محلول پخش است، جمع آوری شود. محصول تولید شده سه مرتبه متوالی با آب مقطر شسته شد و مجدداً تحت سانتریفیوژ قرار گرفت تا احتمال حضور ناخالصی بر روی سطح ذرات از بین برود. مواد ته نشین شده نهایی روی شیشه ساعت ریخته شد و برای خشک شدن در دمای محیط به آن ۲۴ ساعت زمان داده شد.



شکل ۱ طرح شماتیک راکتور مورد استفاده برای تولید نانوذرات

### مشخصه یابی

در این تحقیق برای آزمون پراش اشعه ایکس از دستگاه Philips مدل PW 1800، از زاویه ۵ الی ۷۰ درجه و اشعه  $\text{Cu (K}\alpha\text{)}$  با طول موج ۰/۱۵۴۰۶ نانومتر با طول گام ۰/۰۲۰ استفاده شد. هم چنین بررسی های میکروسکوپی توسط میکرو سکوپ الکترونی روبشی ساخت شرکت KYKY مدل EM-3200 در دو بزرگنمایی ۵ و ۱۰ هزار برابر و هم چنین میکروسکوپ الکترونی عبوری با دستگاه LEO 912AB با مقیاس ۱۰۰ نانومتر انجام شدند. دستگاه Quantachrome instruments Nova-2000e برای بررسی میزان مساحت سطح ویژه (آزمون BET) مورد استفاده قرار گرفت. در این آزمون برای پاک سازی سطح نمونه، ابتدا از دمای ۱۵۰ درجه سانتی گراد استفاده شد و سپس در دمای ۱۹۶- درجه سانتی گراد، توسط گاز نیتروژن آزمایش انجام شد.

### نتایج و بحث

#### نتایج مشخصه یابی نانوکامپوزیت

الگوی XRD بتونیت و نانوکامپوزیت بتونیت-دی اکسید قلع در شکل (۲) نشان داده شده است. باتوجه به الگوی مربوط به بتونیت خالص، می توان نتیجه گرفت که کوارتز، کریستوبالیت و مونت موریلونیت اجزای اصلی بتونیت مورد استفاده را تشکیل می دهند [18]. برای نمونه بتونیت، پیک های پراش واقع شده در حدود ۲۵، ۷، ۲۰ و ۶۲ درجه به ترتیب مربوط به صفحات (۰۰۱)، (۱۱۰) و (۰۶۱) مونت موریلونیت است. علاوه بر این، پیک های ظاهر شده در حدود ۲۵، ۲۲، ۲۸ و ۳۲ درجه مربوط به کریستوبالیت با شماره (۱۰۱)، (۱۱۱) و (۱۰۲) است. پیک مربوط به کوارتز نیز در حدود ۲۷ و ۳۶ درجه با شماره (۰۱۱) و (۲۰۰) قابل مشاهده است. همان طور که در طیف مربوط به نانوکامپوزیت مشخص است علاوه بر این که شدت برخی پیک ها افزایش یافته است (۲۵، ۲۷ و ۶۲ درجه)، برخی پیک های جدید نیز ظاهر شده است (۲۵، ۳۴، ۵۲ و ۵۵ درجه) که مربوط به نانوذرات دی اکسید قلع نشانده شده

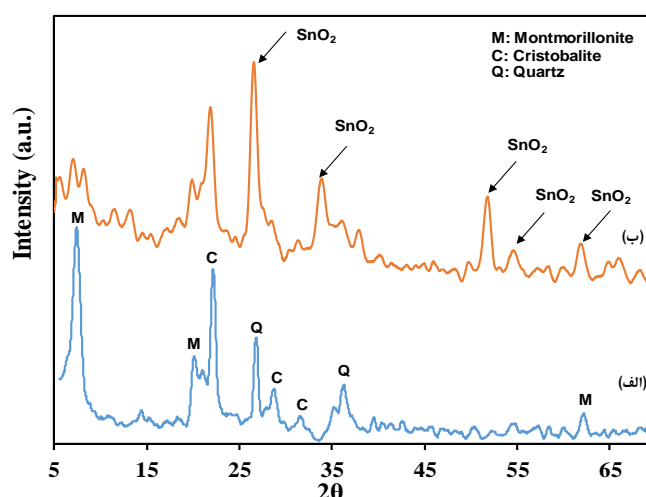
برروی بتونیت است [6].

مشاهده پیک‌های مربوط به دی اکسید قلع در طیف مربوط به نانوکامپوزیت، نشانده شدن نانوذرات دی اکسید قلع برروی بتونیت را به نوبه خود تأیید می‌کند.

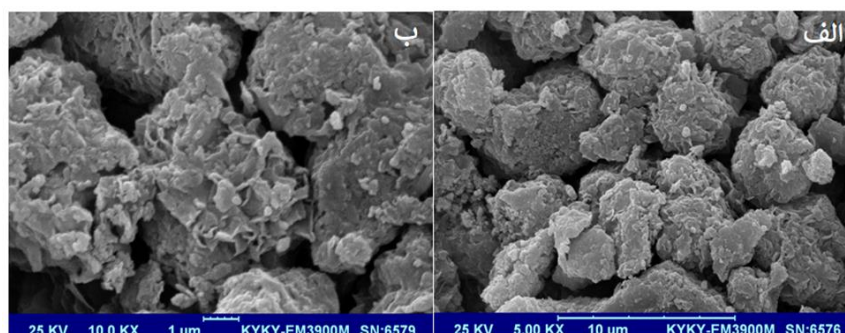
در شکل (۳) تصاویر میکروسکوپ الکترونی روبشی از نانوکامپوزیت بتونیت- دی اکسید قلع در دو بزرگ‌نمایی ۵ و ۱۰ هزار برابر نشان داده شده‌اند. همان‌طور که این تصاویر نشان می‌دهد، ذرات بزرگ بتونیت با ساختار ورقه‌ای به عنوان بستر نانوکامپوزیت عمل کرده و برروی آن نانوذرات دی اکسید قلع به صورت پراکنده قرار گرفته‌اند. با وجود این که بتونیت اندازه بزرگ‌تری نسبت به ذرات دی اکسید قلع دارد، فرایند کلوخه‌ای شدن برای این ذرات

اتفاق افتاده است. احتمال می‌رود همین مسئله برای ذرات دی اکسید قلع نیز رخ داده باشد. برای بررسی این موضوع تصویر میکروسکوپ الکترونی عبوری از این نانوکامپوزیت در شکل (۴) آورده شده است.

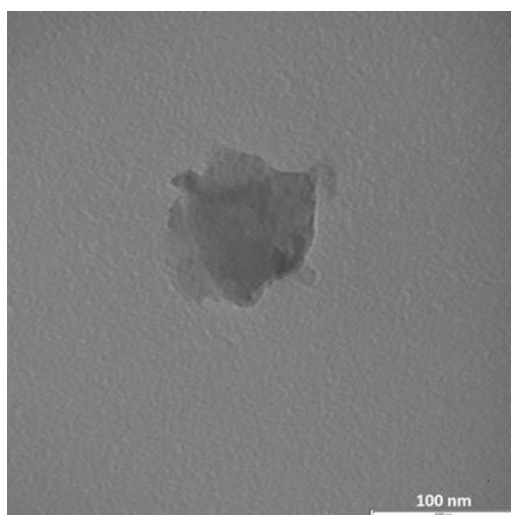
در شکل (۴) باتوجه به مقیاس تصویر (۱۰۰ نانومتر) و کوچک‌تر بودن اندازه ذرات موجود، سنتر موفقی ذرات دی اکسید قلع به صورت نانوذرات و نشستن آن برروی پایه بتونیت در محیط آب فوق‌بحرانی مشاهده می‌شود. همچنین در این تصویر باتوجه به تفاوت رنگ مشاهده شده، می‌توان تأیید کرد که فرایند کلوخه‌ای شدن به منظور کاهش انرژی سطح نانوذرات سنتر شده در ذرات دی اکسید قلع برروی بستر بتونیت نیز رخ داده است.



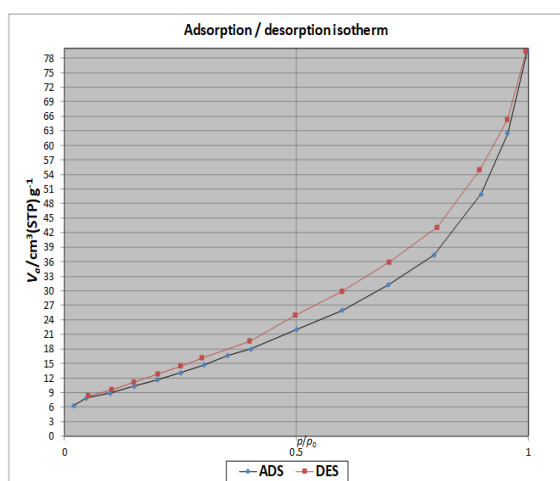
شکل ۲ الگو XRD: (الف) بتونیت خالص، (ب) نانوکامپوزیت بتونیت- دی اکسید قلع



شکل ۳ تصاویر میکروسکوپ الکترونی روبشی از نانوکامپوزیت بتونیت- دی اکسید قلع: (الف) بزرگ‌نمایی ۵ هزار برابر، (ب) بزرگ‌نمایی ۱۰ هزار برابر



شکل ۴ تصویر میکروسکوپ الکترونی عبوری از نانوکامپوزیت بنتونیت-دی اکسید قلع



شکل ۵ ایزوترم جذب و واجذب نیتروژن مربوط به نانوکامپوزیت بنتونیت-دی اکسید قلع

جدول ۱ خواص تخلخلی نانوکامپوزیت بنتونیت-دی اکسید قلع تولیدشده در محیط آب فوق بحرانی

کل حجم حفرات (cm <sup>3</sup> /g)	اندازه قطر حفرات (nm)	مساحت سطح ویژه BET (m <sup>2</sup> /g)
۰/۱۳	۹/۳۰	۵۰/۳۶

از آنجایی که اولین و مهم‌ترین مرحله در انجام هر واکنش شیمیایی جذب شدن مولکول‌های واکنش‌دهنده بر روی سطح کاتالیست است، استفاده از کاتالیست‌ها با

آنالیز BET به منظور تعیین سطح ویژه، اندازه و حجم حفرات نانوکامپوزیت بنتونیت-دی اکسید قلع انجام شد. ایزوترم‌های جذب- واجذب نیتروژن مربوط به این نانوکامپوزیت بنتونیت-دی اکسید قلع در شکل (۵) نشان داده شده است. این ایزوترم برگشت پذیر، دارای یک حلقه هیستریسیس و نسبت به محور فشار نسبی محدب است. بر این اساس این ایزوترم، براساس طبقه بندی اتحادیه بین‌المللی شیمی محض و کاربردی (IUPAC) در زمره ایزوترم های نوع دوم قرار می گیرد [19]. این نوع ایزوترم بیشتر مربوط به مواد غیرمتخلخل یا جاذب‌های ماکرو حفره است. خلاصه نتایج مربوط به این آنالیز در جدول (۱) آورده شده است.

بر اساس نتایج به دست آمده از آزمون BET می توان گفت که این نانوکامپوزیت قابلیت بالایی برای استفاده به عنوان کاتالیست در طیف وسیعی از واکنش‌های شیمیایی به خصوص تخریب فوتوکاتالیستی ترکیبات آلی در محیط آبی دارد؛ چرا که دی اکسید قلع دارای خواص فوتوکاتالیستی بسیار خوبی است و هم چنین پایه بنتونیت در محیط آبی متورم می شود و خاصیت جذب سطحی بالایی را فراهم خواهد آورد.

نشان دادن نانوذرات دی اکسید قلع بر روی یک پایه معدنی یعنی بتونیت در محیط آب فوق بحرانی مورد بررسی قرار گرفت. ستتر نانوکامپوزیت بتونیت- دی اکسید قلع درون یک راکتور ناپیوسته ۲۰ میلی لیتری، در دمای  $480^{\circ}\text{C}$  و در مدت دو ساعت انجام شد. نتایج آنالیزهای مختلف نظیر پراش پرتو ایکس (XRD)، میکروسکوپ الکترونی روبشی (SEM) و میکروسکوپ الکترونی عبوری (TEM) نشانده شدن نانوذرات دی اکسید قلع بر روی بتونیت را در محیط آب فوق بحرانی تأیید کرد. نانوکامپوزیت تولیدی دارای ویژگی های کاتالیستی مناسب نظیر اندازه ذرات و توزیع مناسب آن ها بر روی پایه و سطح ویژه و حجم حفرات بالا بود. براساس نتایج آنالیز BET نانوکامپوزیت بتونیت- دی اکسید قلع به ترتیب دارای سطح ویژه و حجم حفرات به مقدار  $50.36\text{ m}^2/\text{g}$  و  $0.13\text{ cm}^3/\text{g}$  بود، که آن را یک گزینه مناسب برای استفاده به عنوان کاتالیست در انواع واکنش های شیمیایی مطرح می کند. در مجموع نتایج نشان داد که روش آب فوق بحرانی، روشی مناسب و ساده برای تولید و نشان دادن نانوذرات بر روی پایه و تولید نانوکامپوزیت است.

قابلیت جذب سطحی بالا بسیار مورد توجه است. بتونیت به دلیل داشتن ظرفیت جذب سطحی بالا می تواند این مرحله از واکنش را تسریع نماید. همان طور که قبلاً ذکر شد یکی از ویژگی های مهم آب فوق بحرانی این است که در این محیط، محدودیت های انتقال جرمی بین فازها از بین می رود. این بدان معنا است که هسته های اولیه دی اکسید قلع تشکیل شده، مقاومت های انتقال جرمی بسیار کمی پیش روی خود می بیند و به راحتی در خلل و فرج بتونیت نفوذ می کند و با نشستن در آن، مکان های فعال را فراوان با درجه پخش عالی فراهم می آورد. در مقابل در روش های متداول دیگر نظیر هیدروترمال در دمای معمولی، وجود مقاومت های انتقال جرمی مانعی در برابر پخش مناسب نانوذرات بر روی پایه می شود و تعداد مکان های فعال کاهش می یابد.

### نتیجه گیری

باتوجه به خواص خارق العاده آب فوق بحرانی، استفاده از آن، چه به عنوان محیطی سبز برای تولید نانوذرات و چه به عنوان بستری برای انجام انواع واکنش های شیمیایی مورد توجه محققان مختلف قرار گرفته است. در این مقاله امکان

### مراجع

1. Chavali, M. S., Nikolova, M. P., "Metal Oxide Nanoparticles and Their Applications in Nanotechnology", *SN Applied Sciences*, Vol.1, No. 6, pp. 1-30. (2019).
2. Dastan, D., "Effect of Preparation Methods on the Properties of Titania Nanoparticles: Solvothermal Versus Sol-Gel", *Applied Physics A*, Vol. 123, No. 11, pp. 1-13, (2017).
3. Nkurikiyimfura, I., Wang, Y., Safari, B., Nshingabigwi, E., "Temperature-Dependent Magnetic Properties of Magnetite Nanoparticles Synthesized Via Coprecipitation Method", *Journal of Alloys and Compounds*, Vol. 846, pp. 156344, (2020).
4. Nasiri, H., Khaki, J. V., Sabzevar, M. H., "Fast Prepared Ni-Al<sub>2</sub>O<sub>3</sub> Nanocomposite through Solution Combustion Synthesis", *Synthesis and Reactivity in Inorganic, Metal-Organic, and Nano-Metal Chemistry*, Vol. 45, No. 8, pp. 1241-1244, (2015).
5. Petrović, S., Rožić, L., Jović, V., Stojadinović, S., Grbić, B., Radić, N., Lamovec, J., Vasilčić, R., "Optimization of a nanoparticle ball milling process parameters using the response surface method", *Advanced Powder Technology*, Vol.29, No. 9, pp. 2129-2139, (2018).

6. Golmohammadi, M., Hassankiadeh, M. N., Zhang, L., "Facile Biosynthesis of  $\text{SnO}_2/\text{ZnO}$  Nanocomposite Using *Acroptilon Repens* Flower Extract and Evaluation of Their Photocatalytic Activity", *Ceramics International*, Vol.47, No. 20, pp. 29303-29308, (2021)
7. Golmohammadi, M., Rahmati-Abkenar, M., Ghanbari, S., "A Facile Method for the Synthesis of Metal Oxide Nanoparticles in Supercritical Water: Optimized Procedure for Cerium Oxide", *Journal of Cluster Science*, In press, (2021).
8. Li, X., Wu, Z., Wang, H., Jin, H., "Numerical Investigation of Heat Transfer Characteristics Between Two Particles and Supercritical Water", *The Journal of Supercritical Fluids*, Vol. 177, pp. 105327, (2021).
9. Yoko, A., Aida, T., Aoki, N., Hojo, D., Koshimizu, M., Ohara, S., Seong, G., Takami, S., Togashi, T., Tomai, T., "Supercritical Hydrothermal Synthesis of Nanoparticles", Elsevier, Amsterdam, pp. 683-689, (2018).
10. Golmohammadi, M., Nasiri, H., "Synthesis and Characterization of  $\text{CexZr1-xO2}$  Using Supercritical Water", *Journal of Applied Research of Chemical-Polymer Engineering*, Vol.3, No. 4, pp.3-12, (2020).
11. Yang, X., Feng, Y., Xu, J., Jin, J., Liu, Y., Cao, B., "Numerical Study on Transport Properties of the Working Mixtures for Coal Supercritical Water Gasification Based Power Generation Systems", *Applied Thermal Engineering*, Vol. 162, pp. 114228, (2019).
12. Sankar, M., He, Q., Engel, R. V., Sainna, M. A., Logsdail, A. J., Roldan, A., Willock, D. J., Agarwal, N., Kiely, C. J., Hutchings, G. J., "Role of the Support in Gold-Containing Nanoparticles as Heterogeneous Catalysts", *Chemical reviews*, Vol. 120, No. 8, pp. 3890-3938, (2020).
13. Ndolomingo, M. J., Bingwa, N., Meijboom, R., "Review of Supported Metal Nanoparticles: Synthesis Methodologies, Advantages and Application as Catalysts", *Journal of Materials Science*, Vol. 55, No. 15, pp. 6195-6241, (2020).
14. Mehrabadi, B. A., Eskandari, S., Khan, U., White, R. D., Regalbuto, J. R., "A Review of Preparation Methods for Supported Metal Catalysts", *Advances in catalysis*, Vol. 61, pp. 1-35, (2107).
15. Ranjani, M., Al-Sehemi, A. G., Pannipara, M., Aziz, M. A., Phang, S.-M., Ng, F.-L., " $\text{SnO}_2$  Nanocubes/Bentonite Modified SPEEK Nanocomposite Composite Membrane for High Performance and Durable Direct Methanol Fuel Cells", *Solid State Ionics*, Vol. 353, pp. 115318, (2020).
16. Farias, A. F. F., Torres, S. M., Longo, E., Jaber, M., Fonseca, M. G., Pontes, L. F. B. L., dos Santos, I. M. G., "ZnO/Bentonite Hybrids Obtained by a Simple Method of Synthesis and Applied as Catalyst for Biodiesel Production, Springer, Cham, pp. 1-25, (2021).
17. Ameer, N., Ferouani, G., Belkadi, Z., Bachir, R., Calvino, J. J., Hakkoum, A., "A Novel Approach for the Preparation of Silver Nanoparticles Supported on Titanate Nanotubes and Bentonite-Application in the Synthesis of Heterocyclic Compound Derivatives", *Materials Research Express*, Vol. 6, No.12, pp. 125051, (2019).
18. Zhirong, L., Uddin, M. A., Zhanxue, S., "FT-IR and XRD Analysis of Natural Na-Bentonite and Cu (II)-

- Loaded Na-Bentonite", *Spectrochimica Acta Part A: Molecular and Biomolecular Spectroscopy*, Vol. 79, No. 5, pp.1013-1016, (2011).
19. Donohue, M., Aranovich G., "Classification of Gibbs Adsorption Isotherms", *Advances in Colloid and Interface Science*, Vol. 76, pp. 137-152, (1998).